

# 論 說 報 告

第 25 卷 第 6 號 昭和 11 年 6 月

## 上下弦に任意の慣性モーメントを有するフィレンディール構の応力算定法 (其の I)

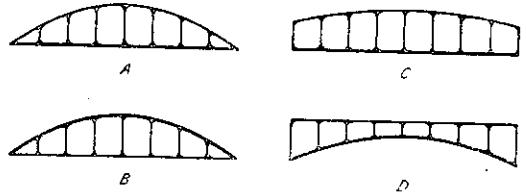
准 員 佐 藤 清 一\*

**要 旨** 本算定法は上下弦の慣性モーメントに對して何等制限を加へざる最も一般的なフィレンディール構の応力の計算法を取扱つたもので、撓角分配法によつて其の計算の簡易化を計つたものである。

### 1. 緒 論

フィレンディール構は節點のモーメントを考慮に入れて解くのでそれに用ひる許容応力も一次応力のみを考へて解くのに比して相當大に取り得、安全率も少くてよいので經濟的であると稱せられ、ベルギーでは架ける橋は皆フィレンディールにしてゐるといふ程であるが、未だ上下弦の慣性モーメントの關係を任意にして、より經濟的な構造を得ようと努めたものはない様である。之は非常な困難を以て何十といふ式を解いて行けば出來ない事はないのであるが全く實用にはなり得ない。之を如何にして切り抜けるか本算定法の一目的である。

図-1.



又ランガー構とかローゼ構等の二次応力の計算の場合も上下弦の部材の慣性モーメントは任意なものとなり、之に對する計算にも役立てようといふのがその目的の 1 つである。又 図-1 (D) に示せる如き拱橋の場合にも上部の部材まで一緒に働かさせて考へるのが一層合理的である。之に對する計算にも役立たせようといふのが又その目的の 1 つである。

尙本計算法は曩に本誌に發表された鷹部屋博士の撓角分配法によるフィレンディール構の實用計算法の一般的なものであつて、学生の際卒業論文に書いたものに多少手を加へたものである。今その筋書丈を述べよう。

### 2. 假 定

普通剛節構造物を解く時に一般になされると同様な假定をフィレンディール構を解く時にもなす。

- (1) 部材の結合は剛節なる事、即ちその構造物が如何に変形するともその節點に於て各部材のなす角は變化しない
- (2) 直応力による部材の変形を無視する。之は  $\frac{N}{EA} \approx 0$  なる限り差支へない
- (3) 剪応力による部材の変形を無視す
- (4) 曲げモーメントによる格間の変長を無視す

### 3. 基 本 式

一般の撓角撓度の式はフィレンディール構の場合には格間荷重がないものと考へられるので荷重項の  $C$  が消

\* 工学士 内務省土木試験所勤務

えて

$$\left. \begin{aligned} M_{ab} &= 2EK_a[2\theta_a + \theta_b - 3R_{ab}] \\ M_{ba} &= 2EK_a[2\theta_b + \theta_a - 3R_{ab}] \end{aligned} \right\} \dots\dots\dots (1)$$

茲に於て  
と置けば

$$\left. \begin{aligned} \varphi_a &= 2E\theta_a, \quad \varphi_b = 2E\theta_b, \quad \mu_a = -6ER_{ab} \\ M_{ab} &= K_a(2\varphi_a + \varphi_b + \mu_a) \\ M_{ba} &= K_a(2\varphi_b + \varphi_a + \mu_a) \end{aligned} \right\} \dots\dots\dots (2)$$

之等を用ひて節點に於て  $\sum M=0$  を適用して得られる式を節點式とす。即ち

図-2.

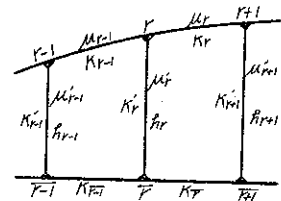


図-2 に於て

$$K_{r-1}\varphi_{r-1} + \rho_r\varphi_r + K_r\varphi_{r+1} + K_r'\varphi_{\bar{r}} + K_{r-1}\mu_{r-1} + K_r\mu_r + K_r'\mu_r' = 0 \dots\dots\dots (3)$$

但し  $\rho_r = 2(K_r + K_r' + K_{r-1})$

或は又

$$\varphi_r = (\varphi_{r+1} + \mu_r)(r)_r + (\varphi_{\bar{r}} + \mu_r')(r)_v + (\varphi_{r-1} + \mu_{r-1})(r)_l \dots\dots\dots (4)$$

但し  $(r)_r = -\frac{K_r}{\rho_r}, \quad (r)_v = -\frac{K_r'}{\rho_r}, \quad (r)_l = -\frac{K_{r-1}}{\rho_r}$

又下弦の格點に對しては

$$\varphi_{\bar{r}} = (\varphi_{\bar{r}-1} + \mu_{\bar{r}})(\bar{r})_r + (\varphi_r + \mu_r')(\bar{r})_v + (\varphi_{\bar{r}-1} + \mu_{\bar{r}-1})(\bar{r})_l \dots\dots\dots (5)$$

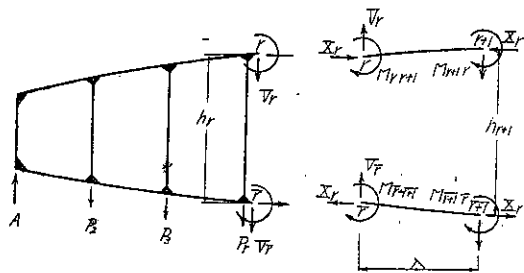
但し  $(\bar{r})_r = -\frac{K_{\bar{r}}}{\rho_{\bar{r}}}, \quad (\bar{r})_v = -\frac{K_{\bar{r}}'}{\rho_{\bar{r}}}, \quad (\bar{r})_l = -\frac{K_{\bar{r}-1}}{\rho_{\bar{r}}}$

$\rho_{\bar{r}} = 2(K_{\bar{r}-1} + K_{\bar{r}}' + K_{\bar{r}})$

但し  $\mu_{\bar{r}} = \mu_r$  之に就ては後に述べる。

図-3.

次に 図-3 に示す如く構を切り離して力の平衡を考へる時は次の式を得る(但し  $\mu_r = \mu_{\bar{r}}$  とす、之は後に説明す)。



$$C_r\mu_r + A_r\varphi_r + B_r\varphi_{\bar{r}-1} + \alpha_r A_r\varphi_{\bar{r}} + \alpha_r B_r\varphi_{\bar{r}-1} + \mathfrak{M}_r = 0 \dots\dots\dots (6)$$

但し  $A_r = K_r(2h_{r+1} + h_r)$

$C_r = \frac{(1 + \alpha_r)}{3}(A_r + B_r)$

$= K_r(h_{r+1} + 2h_r), \quad \alpha_r = \frac{K_{\bar{r}}}{K_r}$

$B_r, \mathfrak{M}_r$  : 之は荷重に關する項であつて、垂直荷重でも水平荷重でもその影響は總べてこの中に入る

$= [\mathfrak{M}_r^0 + \sum_{i=1}^{i=r} W_i h_i (h_r - h_{r+1}) + S_r \lambda h_r]$  水平及垂直荷重の場合

$= \mathfrak{M}_r^0 (h_r - h_{r+1}) + S_r \lambda h_r$  垂直荷重の場合

$\mathfrak{M}_r^0$  : 全支間を1つの單純桁と考へた時垂直荷重のみによつて起される  $\bar{r}$  點に於ける曲げモ

ーメント

-S: 上の如くに考へた時の  $\bar{r}$  に於ける剪力

$\lambda$ : 格間長

W: 水平荷重

或は又書きかへて,

$$\mu_r = D_r + \varphi_{rr} r_r + \varphi_{r+1} l_{r+1} + \varphi_{\bar{r}\bar{r}} \bar{r} + \varphi_{\bar{r}+1} \bar{l}_{\bar{r}+1} \dots \dots \dots (7)$$

但し  $D_r = \frac{-3M_r}{(h_r + h_{r+1})(K_r + K_{\bar{r}})}$ ,  $r_r = \frac{-K_r(2h_{r+1} + h_r)}{(h_r + h_{r+1})(K_r + K_{\bar{r}})}$   
 $\bar{r} = \alpha_r r_r$ ,  $l_{r+1} = \frac{-K_{\bar{r}}(h_{r+1} + 2h_r)}{(h_r + h_{r+1})(K_r + K_{\bar{r}})}$ ,  $\bar{l}_{\bar{r}+1} = \alpha_r l_{r+1}$

以上の (6) 又は (7) 式を格間式とす。

更に構各部の変形を互に關係づける式として角方程式がある。之は構造物が変形後も閉じてゐるといふ條件から出るもので、ある閉じたラーメンの網目を考へた時に、之を構成する所の各部のそれと同一平面上の互に直角をなす 2 軸への正射影の代數和が夫々零であるといふ條件から導き出されるものである。

部材の変長を考へに入れる時は

$$\sum \Delta l \cos \alpha + \sum l R \sin \alpha = 0, \quad \sum \Delta l \sin \alpha - \sum l R \cos \alpha = 0 \dots \dots \dots (8)$$

茲に  $l$ : 部材長

$\Delta l$ : 各部材の変長

$R$ : 部材の変形前の位置と変形後に於ける位置とのなす角

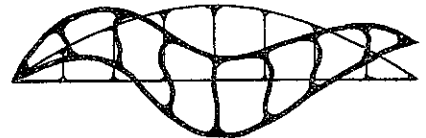
$\alpha$ : 各部材の  $x$  軸となす角

部材の変長を無視せる時は

$$\sum l R \sin \alpha = 0, \quad \sum l R \cos \alpha = 0 \dots \dots \dots (9)$$

以上の (8), (9) なる角方程式はラーメンの閉じたる網目の一つ一つについて成立するのであつて 図-4 の如くに構全体が曲がつて一端が元の位置から離れて了ふ場合にも、ラーメンの網目が閉じてゐる限りは必ず成立するものである。

図-4



それで構造物全体として其の両端が構の荷重に依る変形後も元の位置を離れないといふ條件が必要となる。

$\mu$  の値は

$$\mu_{ab} = -6ER_{ab} = -6E \frac{d_{ab}}{\lambda}$$

であるから、今の條件により

$$\sum d = 0 \quad \text{即ち} \quad \sum \mu = 0 \dots \dots \dots (10)$$

なる式を得る。之を支間式とす。

以上の 4 種の式によりて計算を行はんとするものである。

#### 4. 截端 フィーレンディール構

之は 図-5 の如きもので 図-6 の如き型式をも含むものとす。

図-5.

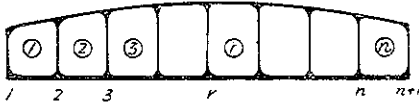
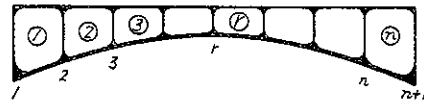


図-6.



計算に用ひられる式は (8), (6), (9), (10), 又は (4), (7), (9), (10) を用ふるのであつて未知數と式の數について考へてみれば、図-5, 6 に於て、未知數としては

$\varphi_r$ .....	(n+1) 個
$\varphi'_r$ .....	(n+1) "
$\mu_r$ .....	2n "
$\mu'_r$ .....	(n+1) "

合計 (5n+3) 個

存在する。之に對して方程式の數は

節點式 .....	2(n+1) 個
格間式 .....	n "
角方程式 .....	2n "
支間式 .....	1 "

合計 (5n+3) 個

であるから解ける事になる。

$\varphi$  を計算する式としては前にも述べた如くに (4) 及 (5) 式を用ひ  $\mu$  の値を計算するには (7) を用ひる。

次に  $\mu'$  の値を計算して行くには角方程式を用ひるのであるが、之を具体的に書けば

$$\mu_r = \mu'_r \dots\dots\dots (11)$$

$$h_r \mu_r - h_{r+1} \mu'_{r+1} + \mu_r (h_{r+1} - h_r) = 0 \dots\dots\dots (12)$$

を得る。この中 (11) 式の關係は (5) 及 (6) 式を作る際に適用する。次の (12) 式は  $r=1, 2, 3, \dots, n+1$  であつて、この中  $r=2, 3, \dots, n+1$  に對しては

$$\mu'_r = \xi_{r-1} \mu'_{r-1} + (1 - \xi_{r-1}) \mu_{r-1} \dots\dots\dots (13)$$

$$\text{但し } \xi_{r-1} = \frac{h_r - 1}{h_r}, \quad r=2 \sim (n+1)$$

$\mu'_1$  に對しては支間式を用ふ。例へば  $n=5$  の場合に對しては

$$\mu'_1 = \xi_2 \mu'_2 + \xi_3 \mu'_3 + \xi_4 \mu'_4 + \xi_5 \mu'_5 - \mu'_0 \dots\dots\dots (14)$$

$$\text{但し } \xi_r = \frac{2h_r - (h_{r-1} + h_{r+1})}{(h_{r-1} - h_r)(h_r - h_{r+1})} \frac{(h_1 - h_2)}{h_1}$$

$\varphi, \mu, \mu'$  の初値: 以上に於て準備した所の諸式に依つて逐次近似計算を行つて行くのであるが、その爲には何らかの初値が用意されねばならない。この初値を求めるには可及的實際に近い様な省略假定をなし、可及的少勞力で其の値を得る様に假定をなすのであるが、この初値の如何に依つて、それが如何に早く眞の値に近づくか定るのである。

図-5 の如き型のフィレンディール構に於ては次の如くにして初値を求めた。

即ち曲弦の曲率は一般に小であるので、先づ平行弦と假定する。而る時は  $\mu_1' = \mu_2' = \mu_3' = \mu_4' = \dots$   
 更に上下の  $\varphi$  の値を等しいと假定すれば、以上の諸式は簡略になり数が減つて表-1 に示す如くなる。

表-1.

	左		邊				右	
	$\varphi_1$	$\varphi_2$	$\varphi_3$	$\varphi_4$	$\varphi_5$	$\varphi_6$	$\mu'$	荷重項
1	$K_1 + 6K_1'$	$-K_1$					$-2K_1'$	$+\frac{2M_1}{h(1+\alpha_1)}$
2	$-K_1$	$K_1 + K_2 + 6K_2'$	$-K_2$				$-2K_2'$	$+\frac{2}{h}\left(\frac{M_1}{1+\alpha_1} + \frac{M_2}{1+\alpha_2}\right)$
3		$-K_2$	$K_2 + K_3 + 6K_3'$	$-K_3$			$-2K_3'$	$+\frac{2}{h}\left(\frac{M_2}{1+\alpha_2} + \frac{M_3}{1+\alpha_3}\right)$
4			$-K_3$	$K_3 + K_4 + 6K_4'$	$-K_4$		$-2K_4'$	$+\frac{2}{h}\left(\frac{M_3}{1+\alpha_3} + \frac{M_4}{1+\alpha_4}\right)$
5				$-K_4$	$K_4 + K_5 + 6K_5'$	$-K_5$	$-2K_5'$	$+\frac{2}{h}\left(\frac{M_4}{1+\alpha_4} + \frac{M_5}{1+\alpha_5}\right)$
6						$K_5 + 6K_5'$	$-2K_5'$	$+\frac{2}{h}\frac{M_5}{1+\alpha_5}$

之より求められたる  $\varphi$  の値を以てその初値とするのであるが、この際  $\mu'$  はトラスに垂直荷重のみがかゝりたる時は

$$\mu' = 0$$

と見てよく上表は  $\varphi$  のみの聯立方程式となる。

然れども横荷重の存する時は明らかに  $\mu' = 0$  とおく事を得ず、この場合にはトラスの平均の  $h$  を有せる下の如きラーメンを考へて求める。之に對する式はよく書物に出てゐるからそれを使へばよい。かくて  $\mu'$  を既知數としておいて上表を  $\varphi$  のみの聯立方程式として解きその概算値を出す。之に引續いて (7) 式によりて  $\mu$  の概算値を出す。之等の初値を用ひて 図-8 に示す如き位置に於て  $\varphi \rightarrow \mu \rightarrow \mu'$  の順序で逐次計算を図上で行つて行くのである。

図-7.

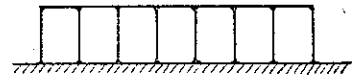
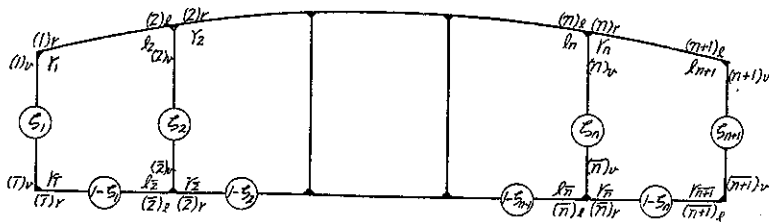


図-8.



尙特に 図-6 の如き型のものに對しては目下研究中である。

**各部材の軸応力:** 以上の如きモーメントの計算には軸応力の影響は非常に小さいので之を無視して行つたが、軸応力、剪断力を求める際にはモーメントは大きな役割をなす。次に之等の軸応力、剪断力を求める式を並べるが之を導く途中の計算は省く事にする。

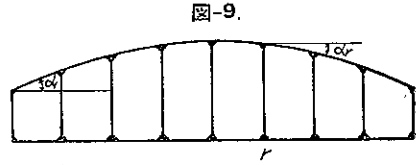
$$N_r^u = r \text{ 番目の格間の上弦材の軸応力} = -X_r \cos \alpha_r - V_r \sin \alpha_r \dots \dots \dots (15)$$

$$N_r' = \text{同じく下弦材の軸応力} = X_r \dots \dots \dots (16)$$

$\alpha_r$  は 図-9 如くにとり  $\sin \alpha_r, \cos \alpha_r$  は常に正とす。

$$S_r^u : r \text{ 番目の格間の上弦材々端に働く剪力} \\ = X_r \sin \alpha_r + V_r \cos \alpha_r \dots \dots \dots (17)$$

$$S_r^l : \text{同じく下弦材のもの} \\ = V_r \dots \dots \dots (18)$$



茲に  $X_r$  及  $V_r$  は 図-3 に示せる如きもので下の如き式で示される。

$$X_r = \frac{1}{h_r} \left( \sum_{t=1}^{t=r} W_t h_t - M_{r,r+1} - M_{r,r-1} \right) \dots \dots \dots (19)$$

$$X_r = X_r - \sum_{t=0}^{t=r} W_t \dots \dots \dots (20)$$

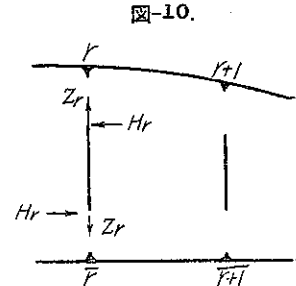
$$V_r = -\frac{\gamma}{\lambda} \left[ X_r (h_r - h_{r+1}) + M_{r,r+1} + M_{r+1,r} \right] \dots \dots \dots (21)$$

$$V_r = -\frac{1}{\lambda} \left[ M_{r,r+1} + M_{r+1,r} \right] \dots \dots \dots (22)$$

次に垂直材については

$$H_r : r \text{ 番目の垂直材の剪力} \\ = -\frac{1}{h_r} (M_{r,r} + M_{r,r}) \dots \dots \dots (23)$$

$$Z_r : \text{同じく軸応力} \\ = P_r + \frac{1}{\lambda} \left[ M_{r-1,r} + M_{r,r-1} - M_{r,r+1} - M_{r+1,r} \right] \dots \dots \dots (24)$$



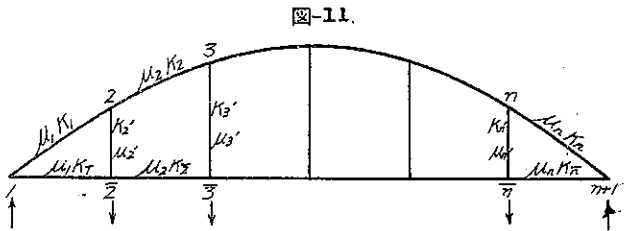
5. レンズ型 フィーレンディール構

此の名のもとに 図-11 の如き型のフィーレンディール構を呼ぶ事とする。この型のトラスは 図-5 の如き型が全体として一つの大きな梁の如き作用をなし、且つ垂直材も比較的強大なるものを要するに反し、上弦材が拱を爲してゐる爲に拱作用を生じ、荷重を上弦による拱と下弦の梁と、各節點に於ける剛性とに依りて受ける事となり、非常に得策な型であると思ふ。實際ベルギーその他に於て架設されてゐる フィーレンディール構は殆どこの型に属するのである。

次に之に對する取扱方を述べる事とする。

さて此の型に於ては垂直材が 兩端に於て零になつてゐる爲に、それ丈修正を施す必要を生じ今迄のまゝでは都合が悪い。前の場合に比して  $\varphi_1$  と  $\varphi_{n+1}$  と  $\varphi_{n+1}$  が一致し、 $h_1 = h_n = 0$  又  $\mu_1'$  及  $\mu_{n+1}'$  とが無くなる。

之を鮮くに要する式の種類は矢張り前と同様で、節點式、格間式、支間式、角方程式である。格點2よりnまでの  $\varphi$  の値を計算するには(4)



及 (5) 式

$$\varphi_r = (\varphi_{r+1} + \mu_r)(r)_r + (\varphi_r + \mu_r')(r)_r + (\varphi_{r-1} + \mu_{r-1})(r)_l \dots (4)$$

$$\varphi_{\bar{r}} = (\varphi_{\bar{r}+1} + \mu_r)(\bar{r})_r + (\varphi_r + \mu_r')(\bar{r})_r + (\varphi_{\bar{r}-1} + \mu_{\bar{r}-1})(\bar{r})_l \dots (5)$$

を用ひ、格点 1 と n+1 の  $\varphi$  に対しては (4) と (5) は一致して次の形となる。

$$\varphi_1 = (\varphi_2 + \mu_1)(1)_r + (\varphi_1 + \mu_1')(1)_r \dots (25)$$

$$(1)_r = -\frac{K_1}{\rho_1}, \quad (\bar{1})_r = -\frac{K\bar{1}}{\rho_1}$$

$$\varphi_{n+1} = (\varphi_n + \mu_n)(n+1)_l + (\varphi_n + \mu_n)(\bar{n}+1)_l \dots (26)$$

$$(n+1)_l = -\frac{K_n}{\rho_{n+1}}, \quad (\bar{n}+1)_l = -\frac{K\bar{n}}{\rho_{n+1}}$$

處でこの場合の角方程式は格間 2 より格間 (n-1) まではラーメンの網目を 4 部材を以て構成されてゐるから前の場合と同様に (11), (12) 式が成立し、従つて (13) 式を用ひて  $\mu_r'$  を計算すればよい事になる。然るに兩端の格間は 3 部材を以て構成されてゐるからもつと簡単な關係で

$$\mu_1 = \mu\bar{1} = \mu_2' \dots (27)$$

$$\mu_n = \mu\bar{n} = \mu_n' \dots (28)$$

を得る。故に  $\mu_r'$  として計算すべきものは  $\mu_2'$  より  $\mu_{n-1}'$  までとなり前に掲げた如く

$$\mu_r' = \xi_{r-1} \mu_{r-1}' + (1 - \xi_{r-1}) \mu_{r-1} \dots (13)$$

を用ひればよい。

次に  $\mu_r$  を求めるには、(27) 及 (28) 式の關係を得たので  $r=2 \sim (n-1)$  に對しては一般基本式の所で述べた (7) 式

$$\mu_r = D_r + \varphi_r r_r + \varphi_{r+1} l_{r+1} + \varphi_r r_{\bar{r}} + \varphi_{r+1} l_{\bar{r}+1} \dots (7)$$

を用ひればよい。

$\mu_1$  と  $\mu_n$  とに對しては (27), (28) 式に他の角方程式を取入れたものと、支間式とに依つて次の式を得る。

$$\mu_1 = \delta_2 \mu_2 + \delta_3 \mu_3 + \dots + \delta_{n-1} \mu_{n-1} \dots (29)$$

$$\mu_n = \delta_{n-1} \mu_{n-1} + \delta_{n-2} \mu_{n-2} + \dots + \delta_2 \mu_2 \dots (30)$$

$$\text{但し } \delta_r = \frac{l_r - l_{r+1}}{2l_2} - \frac{1}{2}$$

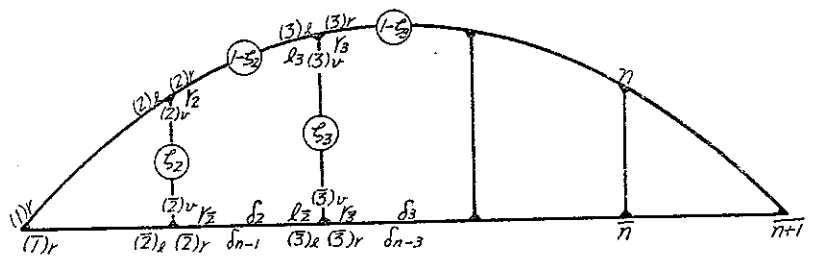
而して構は左右對稱なりとす。

以上に依つて  $\varphi, \mu, \mu'$  を計算すべき式が揃つたのであつて、後に述べる如くにして  $\varphi, \mu, \mu'$  の夫々の初値を求め得れば 圖-12 の如き形に於て図上逐次計算を行ひ得る。

初値の算出: 先づ  $\varphi$  の初

値を求めるには (7) 式より出發する。この形の式は (n-2) 個出来る。之に (25) と (26) 式とを合せ用ひて n 個の式を得る。此所に於て上下の K の値の餘り異なるものにては、或は思切つて  $\varphi_r = \varphi_{\bar{r}}$  と置く。一般に一層

圖-12.



精密な初値を得る爲には  $\varphi_r = \alpha_r \varphi_r$  と置く。更に又上下弦の  $K$  の値又は  $J$  の値の比に依つて  $\mu_1 \cdots \mu_n$  を  $\mu_1$  の或る比になる様に置く。

即ち  $\mu_r = p_r \mu_1$

と置き  $r=1$  の場合は  $p_1=1$  にして其の他の値は上下弦の  $K$  又は  $J$  の値に依つて、又格間數に依つて異なる。

以上の  $\varphi$  及  $\mu$  に就ての假定を施す事に依つて其の  $n$  個の式中  $\varphi_i$  より  $\varphi_{n+1}$ 迄の  $n$  個の  $\varphi$  を未知數として  $\varphi_m$  を求むるに

$$\varphi_m = (-1)^m \left[ \left\{ \sum_{j=1}^{i=m-1} (-1)^{j+1} \left( \frac{D_j}{b_j} \right) \prod_{i=j+1}^{i=m-1} \eta_i \right\} \mu_1 - \left\{ \prod_{j=1}^{j=m-1} \eta_j \right\} \varphi_1 \right. \\ \left. + \left\{ \sum_{j=1}^{j=m-1} (-1)^{j+1} \left( \frac{D_j}{b_j} \right) \prod_{i=j+1}^{i=m-1} \eta_i \right\} \right] \dots \dots \dots (31)$$

を得る。茲に

$$p_j = \frac{\mu_j}{\mu_1}, \quad \alpha_i = \frac{\varphi_i}{\varphi_r}, \quad \eta_i = \frac{a_i}{b_i}$$

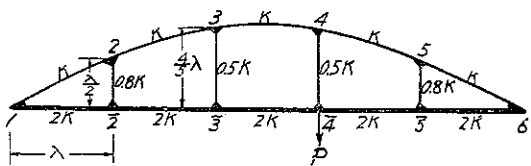
$$\alpha_i = -\frac{(h_i + 2h_{i+1})(K_i + \alpha_{i+1}K_i)}{(h_i + h_{i+1})(K_i + K_{i+1})}, \quad b_i = -\frac{(2h_i + h_{i+1})(K_i + \alpha_{i+1}K_i)}{(h_i + h_{i+1})(K_i + K_{i+1})}$$

$$D_j = \frac{M_j}{(h_j + h_{j+1})(K_j + K_{j+1})}, \quad M_j = M_j^0(h_i - h_{i+1}) + \delta_j \lambda h_j$$

そこで之等の  $\varphi$  の値を (4) 式の  $r=2$  及  $r=n$  なる 2 式に代入し、之等の 2 式を聯立に解いて  $\varphi_1$  及  $\mu_1$  の初値を決定す。引續いて  $\varphi_r = \alpha_r \varphi_1$ ,  $\mu_r = p_r \mu_1$  に依つて  $\varphi_r$ ,  $\mu_r$  の夫々の初値を決定する。

茲に於て  $\alpha_r$  及び  $p_r$  を如何に定むるかは目下研究中にして之等に對する表を作りつゝあるが、次に今迄になしたる經驗を述べ之に就て例題を計算してみやう。而し式 (7) を見るに  $D$  なる項は  $\gamma \frac{P\lambda}{K}$  なる形にて示され、 $\gamma$  は  $h$  の比、 $K_r$  と  $K_{r+1}$  との比等に依る係數でデメンションのない數字である。又  $r$  とか  $l$  なる係數もデメンションのない數字であるから  $\varphi$  とか  $\mu$  は  $D$  と同じデメンションを有せねばならず、従つて  $D$  が  $P\lambda/K$  なる形で表はされる限り  $\varphi$  も  $\mu$  も  $P\lambda/K$  なる形で表はされて來なければならない。故に  $\varphi$  の比を作り  $\mu$  の比を作ると云ふ事は荷重に關する關係を消して了ふ事で、節點の廻轉する形、又構全体の撓む形は荷重に關係せず或る形の構にて——例へば  $\frac{f}{l} = \frac{1}{7}$  の parabola の構といふ具合に標準を定める時はこの形の關係も消失する——諸部材の  $K$  の値が或る比をなす構にては荷重の如何に依らず常にその様な節點の廻轉をなし撓み方をするのである。

図-13.



先づ筆者は図-13 に示す如き簡単なフィレンディール構にて図の如き荷重状態を考へて、之を以上に述べて來た様な諸式を用ひ、非常な時間を費して真正面から一つ一つ消去して解いてみた。

その結果  $\varphi$  の値として次のものを得た。

$$\varphi_1 = -0.041915 \frac{P\lambda}{K}$$

$$\varphi_2 = -0.020378 \frac{P\lambda}{K} \quad \varphi_2 = -0.010716 \frac{P\lambda}{K}$$

$$\varphi_3 = +0.032868 \frac{P\lambda}{K} \quad \varphi_3 = +0.036153 \frac{P\lambda}{K}$$



$$\begin{aligned}\varphi_4 &= +0.011069 \frac{P\lambda}{K} & \varphi_{\bar{4}} &= +0.014333 \frac{P\lambda}{K} \\ \varphi_5 &= -0.020115 \frac{P\lambda}{K} & \varphi_{\bar{5}} &= -0.019239 \frac{P\lambda}{K} \\ \varphi_6 &= -0.012060 \frac{P\lambda}{K}\end{aligned}$$

又  $\mu_r$  及  $\mu_{r'}$  の値は

$$\begin{aligned}\mu_1 &= +0.097866 \frac{P\lambda}{K} \\ \mu_2 &= -0.046376 \frac{P\lambda}{K} & \mu_{2'} &= +0.097866 \frac{P\lambda}{K} \\ \mu_3 &= -0.139124 \frac{P\lambda}{K} & \mu_{3'} &= +0.043776 \frac{P\lambda}{K} \\ \mu_4 &= +0.043983 \frac{P\lambda}{K} & \mu_{4'} &= +0.043776 \frac{P\lambda}{K} \\ \mu_5 &= +0.04651 \frac{P\lambda}{K} & \mu_{5'} &= +0.043651 \frac{P\lambda}{K}\end{aligned}$$

之等に依つて構の変形状態の概略を示せば 図-14 の如くである。

更に荷重の位置を移動し格点5にかけた場合の  $\varphi, \mu, \mu'$  の値は次の如くに求められた。

$$\begin{aligned}\varphi_1 &= -0.042705 \frac{P\lambda}{K} \\ \varphi_2 &= -0.025969 \frac{P\lambda}{K} & \varphi_{\bar{2}} &= -0.012938 \frac{P\lambda}{K} \\ \varphi_3 &= +0.017489 \frac{P\lambda}{K} & \varphi_{\bar{3}} &= +0.019275 \frac{P\lambda}{K} \\ \varphi_4 &= +0.047839 \frac{P\lambda}{K} & \varphi_{\bar{4}} &= +0.051752 \frac{P\lambda}{K} \\ \varphi_5 &= -0.026505 \frac{P\lambda}{K} & \varphi_{\bar{5}} &= -0.004330 \frac{P\lambda}{K} \\ \varphi_6 &= -0.084450 \frac{P\lambda}{K}\end{aligned}$$

$$\begin{aligned}\mu_1 = \mu_{2'} &= +0.102693 \frac{P\lambda}{K} \\ \mu_2 &= -0.008205 \frac{P\lambda}{K} \\ \mu_3 &= -0.137021 \frac{P\lambda}{K} \\ \mu_{3'} = \mu_{4'} &= +0.043044 \frac{P\lambda}{K} \\ \mu_4 &= -0.138092 \frac{P\lambda}{K} \\ \mu_5 = \mu_{5'} &= +0.180625 \frac{P\lambda}{K}\end{aligned}$$

図-14.

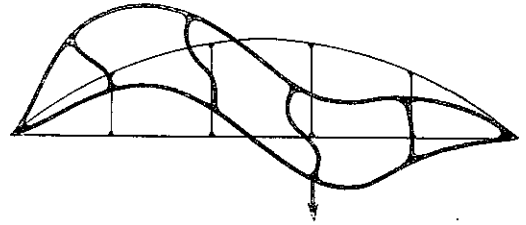
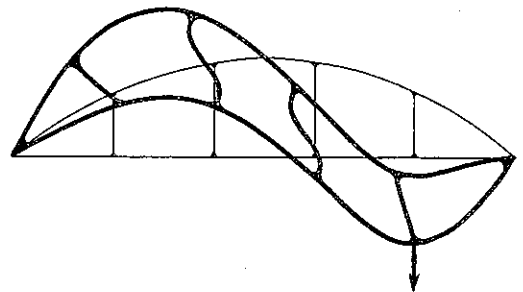


図-15.



此の場合のトラス変形図は概略図-15の如きものである。

以上に依りて撓度影響線に相當する  $\mu$  の影響線ともいふべきものをかけば図-16の如し。

此の図-16を他の計算の時に應用しようといふのであつて、此の図に於て1より11まである番號は荷重が支間の1の點の上にある事、2の位置にある事、...11の位置にある事を示すもので、例へば7の位置に荷重のある場合は1より11までの図中支間の7なる位置直下又は直上のordinateを他の図の支間の點1、點2、...點11、の直上又は直下を取れば直ちに荷重が7なる位置にある時の  $\mu$ -diagramをかく事が出来る。之より  $p_r = \frac{\mu r}{\mu_1}$  を計算する。

次に上下弦材の  $K$  の値の同一なる場合に對して之を應用して見た。即ち 図-17 に示

す如き構を例に取つて見た。荷重は先づ格點4にある時から始める。

！ 豫備計算

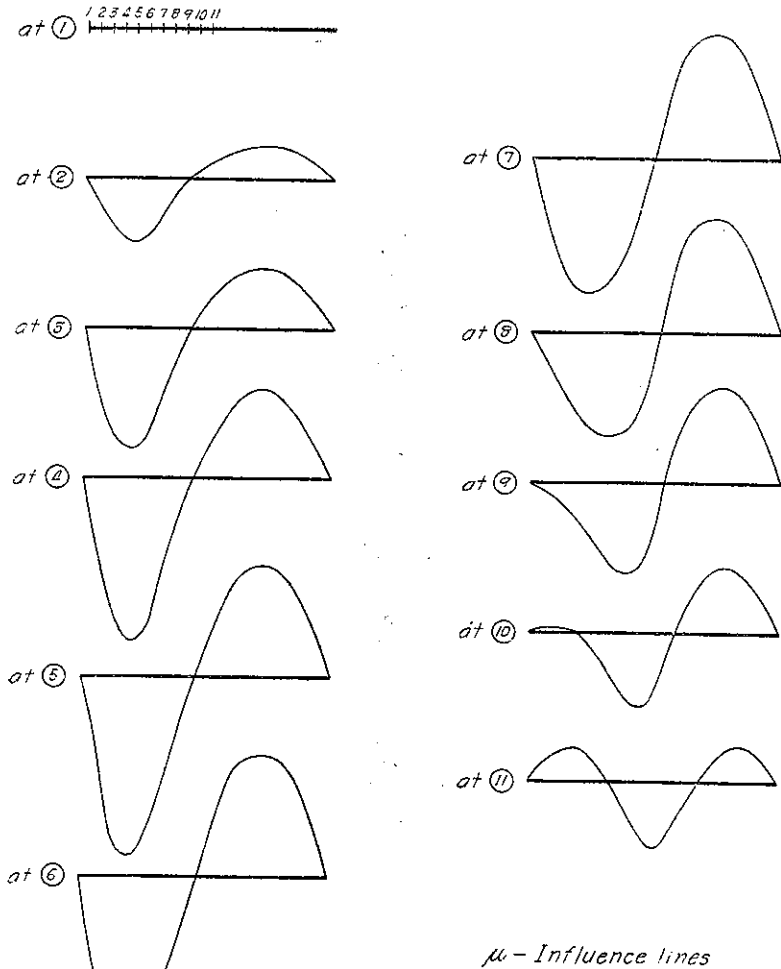
$$\begin{aligned}
 h_2 = h_3 = \frac{\lambda}{2}, & \quad D_2 = -0.03077 \frac{P\lambda}{K} \\
 h_3 = h_4 = \frac{4}{5}\lambda, & \quad D_3 = -0.1 \frac{P\lambda}{K} \\
 \lambda: \text{格間長} & \quad D_4 = +0.01615 \frac{P\lambda}{K}
 \end{aligned}$$

この上下の  $K$  の値が等しい場合に於て重要な事は、兩端の格點を除いては

$$K(\varphi_{r-1} - \varphi_{\bar{r}-1}) + (\rho_r - K_r')(\varphi_r - \varphi_{\bar{r}}) + K(\varphi_{r+1} - \varphi_{\bar{r}+1}) = 0$$

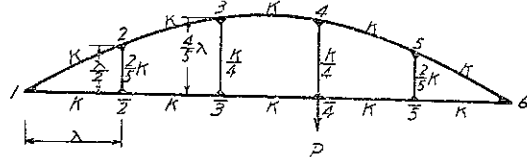
なる式が  $r=2 \sim n$  に於て  $(n-1)$  個出来る。之等は  $(\varphi_r - \varphi_{\bar{r}})$  なる  $(n-1)$  個の未知數を有する一次方程式である

図-16.



$\mu$ -Influence lines

図-17.



から

$$\varphi_r = \varphi_{\bar{r}}$$

が成立する。斯くて 図-16 の如き影響線が前から在つたものとして、之に依りて本算定法を例示しよう。

(31) により  $\varphi$  の初値を求めると 表-2, 3 の如くなる。

表-2.

$r$	$a_r$	$b_r$	$\eta_r = \frac{a_r}{b_r}$	$\frac{1}{r} \prod \eta_i$	$\frac{2}{r} \prod \eta_i$	$\frac{3}{r} \prod \eta_i$	$\frac{4}{r} \prod \eta_i$	$\frac{5}{r} \prod \eta_i$	$p = \frac{\mu_r}{\mu_1}$	$(-1)^{r+1} \frac{\eta_r}{b_r}$	$M_{m-2}$
1	-2.0	-1.0	+2.0	+2.0000	+2.3334	+2.3334	+2.0000	+1.0000	+1.0000	-1.0000	-1.0000
2	-1.6154	-1.3846	+1.1667	+1.0000	+1.1667	+1.1667	+1.0000	+0.5000	-0.4739	-0.3423	
3	-1.50	-1.50	+1.0		+1.0000	+1.0000	+0.8571	+0.4286	-1.4216	+0.9480	
4	-1.3846	-1.6154	+0.8571			+0.0000	+0.8571	+0.4286	+0.4494	+0.2782	
5	-1.0	-2.0	+0.5				+0.1000	+0.5000	+0.4460	-0.2230	
6								+1.0000			
											$\Sigma = -1.0000$

表-3.

$r$	$M_{m-3}$	$M_{m-4}$	$M_{m-5}$	$M_{m-6}$	$D_r$	$(-1)^{r+1} \frac{D_r}{b_r}$	$N_{m-2}$	$N_{m-3}$	$N_{m-4}$	$N_{m-5}$	$N_{m-6}$
1	-1.1667	-1.1667	-1.0000	-0.5000	0	0	0	0	0	0	0
2	-0.3423	-0.3423	-0.2934	-0.1467	$+0.03077 \frac{P\lambda}{K}$	$+0.02223$		$+0.02223$	$+0.02223$	$+0.01905$	$+0.00951$
3		$+0.9480$	$+0.8125$	$+0.4063$	$+0.10000 \nu$	$-0.06667$			$-0.06667$	$-0.05714$	$-0.02858$
4			$+0.2782$	$+0.1391$	$-0.04615 \nu$	$-0.02857$				$-0.02857$	$-0.01429$
5				$-0.2230$	0	0					0
6					0						
	$\Sigma = -1.5090$	$\Sigma = -0.5610$	$\Sigma = -0.2027$	$\Sigma = -0.3243$			$\Sigma = 0$	$\Sigma = +0.02223$	$\Sigma = -0.04444$	$\Sigma = -0.06666$	$\Sigma = -0.03333$

$$\text{但し } M = (-1)^{r+1} \left( \frac{P_r}{b_r} \right) \prod_{i=r+1}^{i=m-1} \eta_i, \quad N = (-1)^{r+1} \left( \frac{D_r}{b_r} \right) \prod_{i=r+1}^{i=m-1} \eta_i$$

斯くて求められた  $\varphi_2 \sim \varphi_6$  は

$$\varphi_2 = + \left( -\mu_1 \quad -2.0000 \varphi_1 + 0 \right)$$

$$\varphi_3 = - \left( -1.5090 \mu_1 - 2.3334 \varphi_1 + 0.0222 \frac{P\lambda}{K} \right)$$

$$\varphi_4 = + \left( -0.5610 \mu_1 - 2.3334 \varphi_1 - 0.0444 \frac{P\lambda}{K} \right)$$

$$\varphi_5 = - \left( -0.2027 \mu_1 - 2.0000 \varphi_1 - 0.0667 \frac{P\lambda}{K} \right)$$

$$\varphi_6 = + \left( -0.3243 \mu_1 - 1.0000 \varphi_1 - 0.0333 \frac{P\lambda}{K} \right)$$

之を (4) 式の  $r=2$  及  $r=5$  なる 2 式に代入して解けば

$$\varphi_1 = -0.06656 \frac{P\lambda}{K} \quad \mu_1 = +0.1621 \frac{P\lambda}{K}$$

を得る。之に依りて順次



之に依りて得たる最も真に近き値は夫々次の如し。

$$\begin{aligned} \varphi_1 &= -0.0637 \frac{P\lambda}{K} & \mu_1 &= +0.1548 \frac{P\lambda}{K} & \mu_2' &= +0.1548 \frac{P\lambda}{K} \\ \varphi_2 &= -0.0275 \frac{P\lambda}{K} & \mu_2 &= -0.0688 \frac{P\lambda}{K} & \mu_3' &= +0.0710 \frac{P\lambda}{K} \\ \varphi_3 &= +0.0590 \frac{P\lambda}{K} & \mu_3 &= -0.2261 \frac{P\lambda}{K} & \mu_4' &= +0.0710 \frac{P\lambda}{K} \\ \varphi_4 &= +0.0244 \frac{P\lambda}{K} & \mu_4 &= +0.0664 \frac{P\lambda}{K} & \mu_5' &= +0.0738 \frac{P\lambda}{K} \\ \varphi_5 &= -0.0335 \frac{P\lambda}{K} & \mu_5 &= +0.0738 \frac{P\lambda}{K} & & \\ \varphi_6 &= -0.0201 \frac{P\lambda}{K} & & & & \end{aligned}$$

之に依つて変形図を畫いてみれば 図-19 の如し。

次に此の同一構の格點 5 に荷重のある場合を計算してみる。

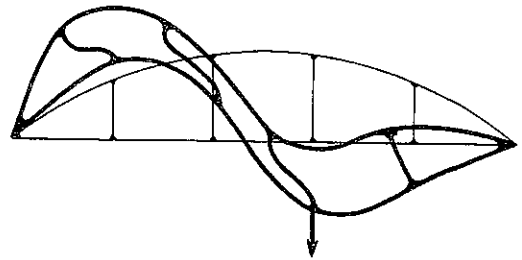


図-19.

豫備計算

前と同様にして

$$D_2 = -0.01538 \frac{P\lambda}{K} \quad D_3 = -0.05 \frac{P\lambda}{K} \quad D_4 = -0.10625 \frac{P\lambda}{K}$$

表-4.

$r$	$p_r$	$(-1)^{r+1} \frac{p_r}{b_r}$	$D_r$	$(-1)^{r+1} \frac{D_r}{b_r}$	$M_{m=2}$	$M_{m=3}$	$M_{m=4}$
1	+1.0000	-1.0000	0	0	-1.0000	-1.1667	-1.1667
2	-0.0800	-0.0578	$+0.01538 \frac{P\lambda}{K}$	+0.0111		-0.0578	-0.0578
3	-1.3350	+0.8900	+0.05	-0.0333			+0.8900
4	-1.3350	-0.8264	$+0.10625 \frac{P\lambda}{K}$	+0.0658			
5	+1.7600	-0.8800	0	0			
6							
					$\Sigma = -1.0000$	$\Sigma = -1.2245$	$\Sigma = -0.9345$

表-5.

$r$	$M_{m=5}$	$M_{m=6}$	$N_{m=2}$	$N_{m=3}$	$N_{m=4}$	$N_{m=5}$	$N_{m=6}$
1	-1.0000	-0.5000	0	0	0	0	0
2	-0.0495	-0.0248		+0.0111	+0.0111	+0.0095	+0.0048
3	+0.7628	+0.3815			-0.0333	-0.0285	-0.0143
4	-0.8264	-0.4132				+0.0658	+0.0329
5		-0.8800					0
6							
	$\Sigma = -1.1131$	$\Sigma = -1.4365$	$\Sigma = 0$	$\Sigma = +0.0111$	$\Sigma = -0.0222$	$\Sigma = +0.0468$	$\Sigma = +0.0234$

但し  $M = (-1)^{r+1} \left( \frac{p_r}{b_r} \right) \prod_{i=r+1}^{i=m-1} \eta_i$  ,  $N = (-1)^{r+1} \left( \frac{D_r}{b_r} \right) \prod_{i=r+1}^{i=m-1} \eta_i$



$$\begin{aligned} \varphi_2 &= -0.0139 \frac{P\lambda}{K} & \mu_2 &= -0.0099 \frac{P\lambda}{K} \\ \varphi_3 &= +0.0133 \frac{P\lambda}{K} & \mu_3 &= -0.1657 \frac{P\lambda}{K} \\ \varphi_4 &= +0.0649 \frac{P\lambda}{K} & \mu_4 &= -0.1657 \frac{P\lambda}{K} \\ \varphi_5 &= -0.0189 \frac{P\lambda}{K} & \mu_5 &= +0.2184 \frac{P\lambda}{K} \\ \varphi_6 &= -0.0998 \frac{P\lambda}{K} & \mu_3' = \mu_4' &= +0.0744 \frac{P\lambda}{K} \end{aligned}$$

斯くて求められた初値によりて図上逐次計算を行へば 図-20 の如し。

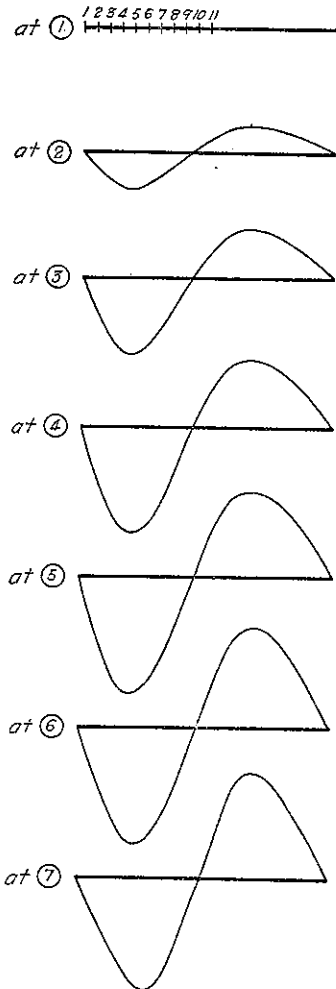
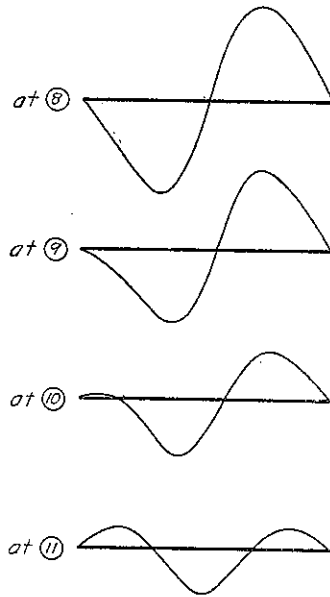


図-21.



$\mu$ -Influence lines

斯くて定まつた決定値は

$$\begin{aligned}
 \varphi_1 &= -0.0545 \frac{P\lambda}{K} & \mu_1 &= +0.1418 \frac{P\lambda}{K} \\
 \varphi_2 &= -0.0324 \frac{P\lambda}{K} & \mu_2 &= -0.0073 \frac{P\lambda}{K} \\
 \varphi_3 &= -0.0319 \frac{P\lambda}{K} & \mu_3 &= -0.2061 \frac{P\lambda}{K} \\
 \varphi_4 &= -0.0722 \frac{P\lambda}{K} & \mu_4 &= -0.1651 \frac{P\lambda}{K} \\
 \varphi_5 &= -0.0255 \frac{P\lambda}{K} & \mu_5 &= +0.2366 \frac{P\lambda}{K} \\
 \varphi_6 &= -0.1053 \frac{P\lambda}{K} & \mu_3' = \mu_4' &= +0.0860 \frac{P\lambda}{K}
 \end{aligned}$$

序に之等の値によりて前の 図-16 に相當する  $\mu$ -influence line を畫けば 図-21 の如し。

此の曲線を上下弦の  $K$  の値が等しい場合の他のトラスを解く場合に利用しようといふのである。

尙此の算定法によりて著しい時間と努力の節減を見た。

次の稿に於てはもつと系統立て、上下弦の  $K$  の値又垂直材の  $K$  値の影響及格間数の影響を述べ、そしてベルギーに於ける實際の例に就ての計算例をのせる積りである。又更に 図-1 (D) の如き型に就ては別の稿に於て書きたいと考へてゐる。